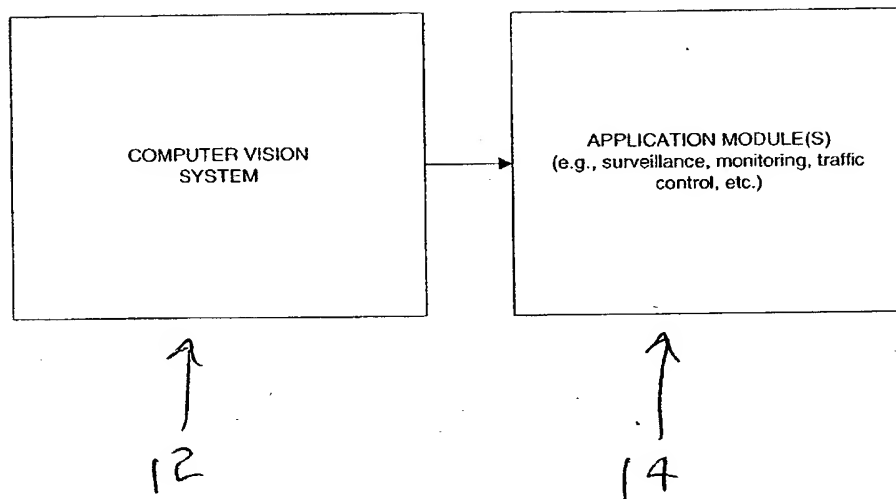
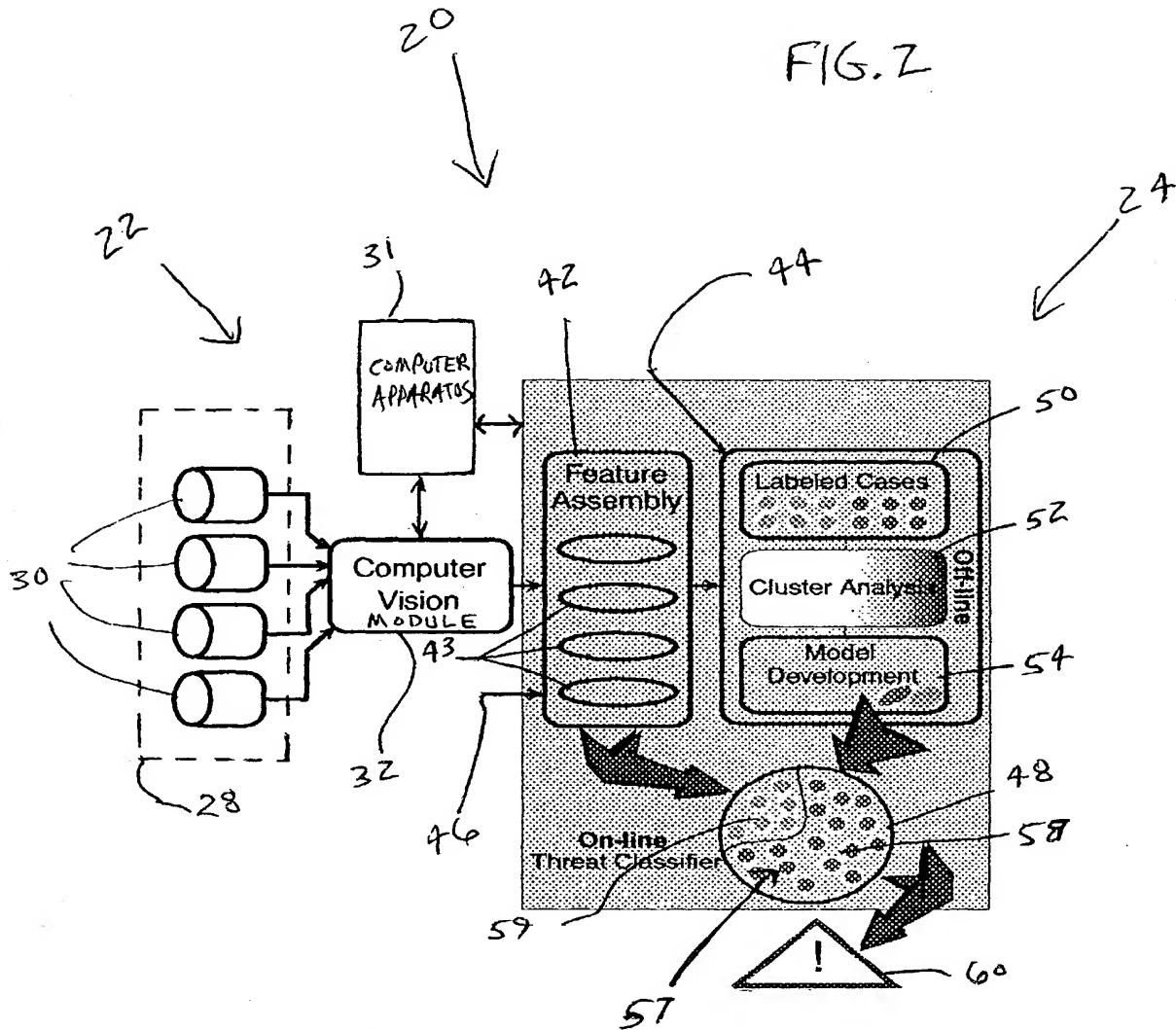


FIG. 1



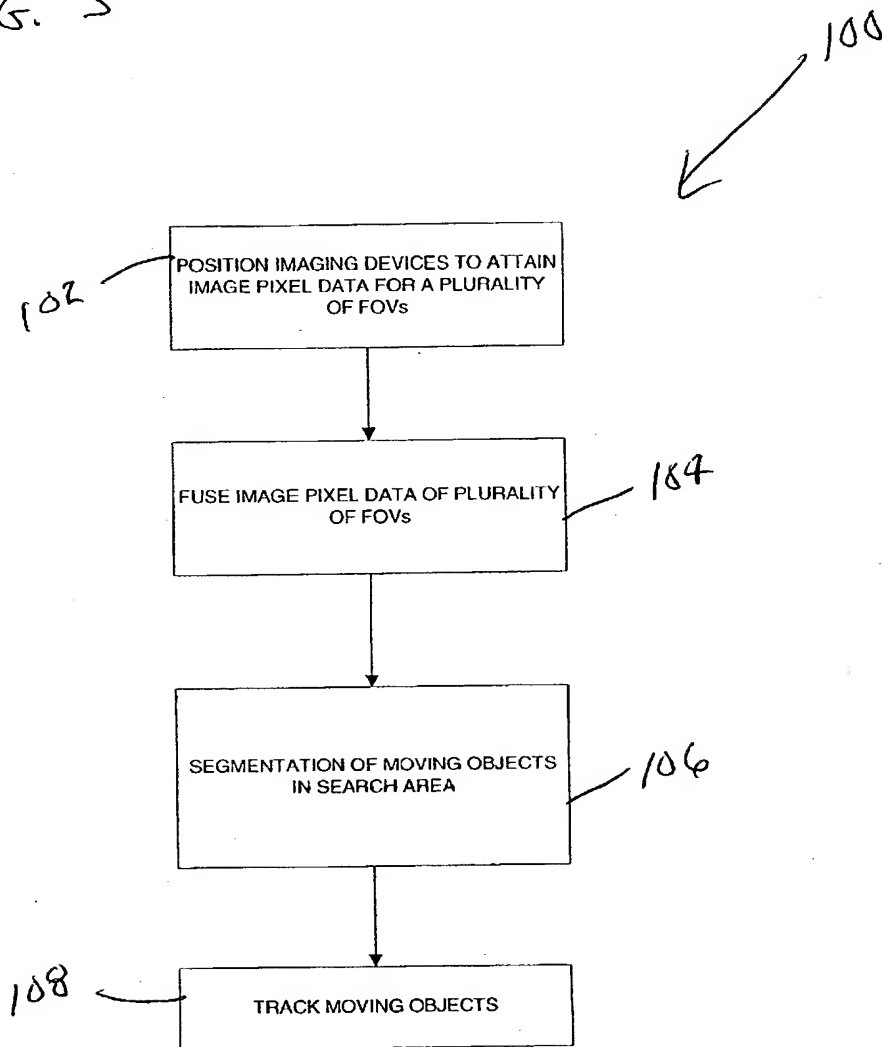
100344780-122704

FIG. 2



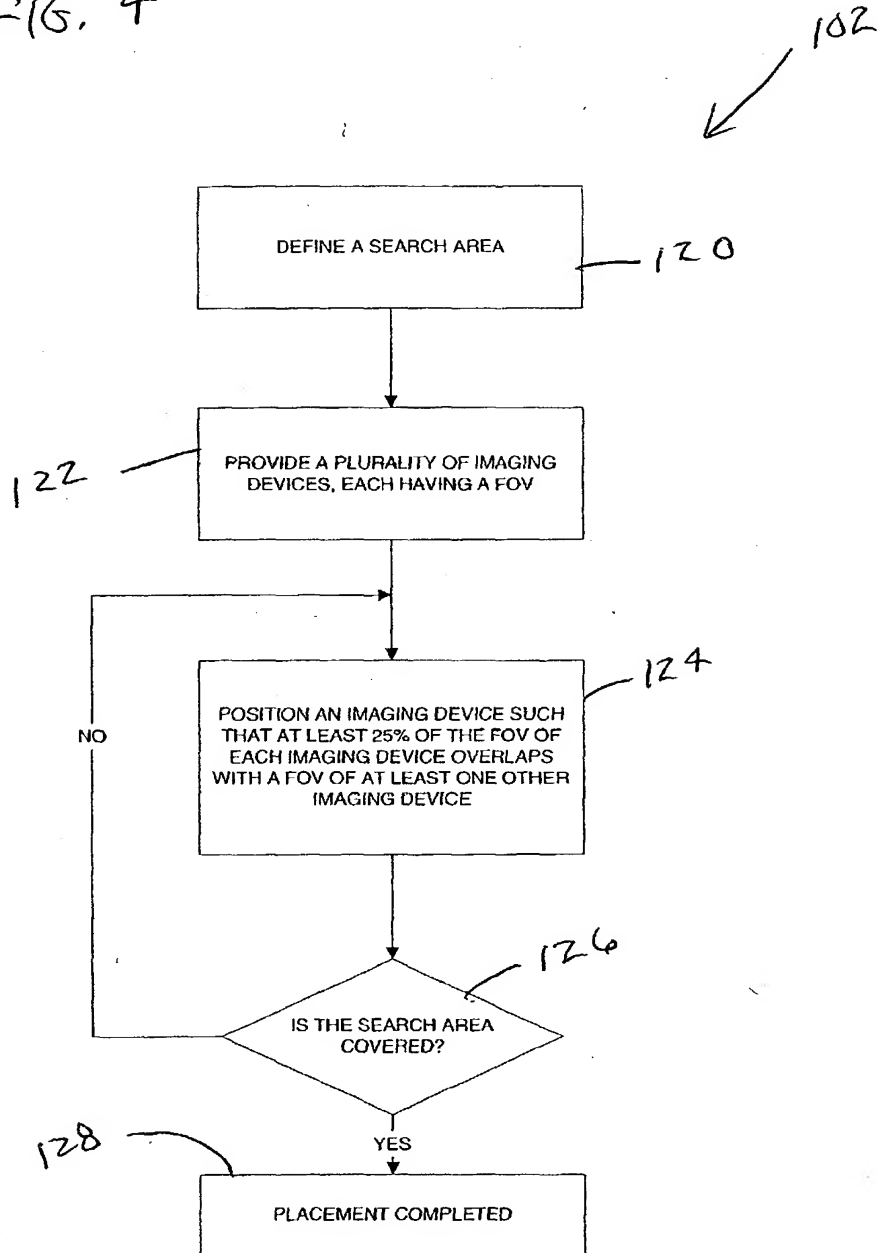
1004780.122701

FIG. 3



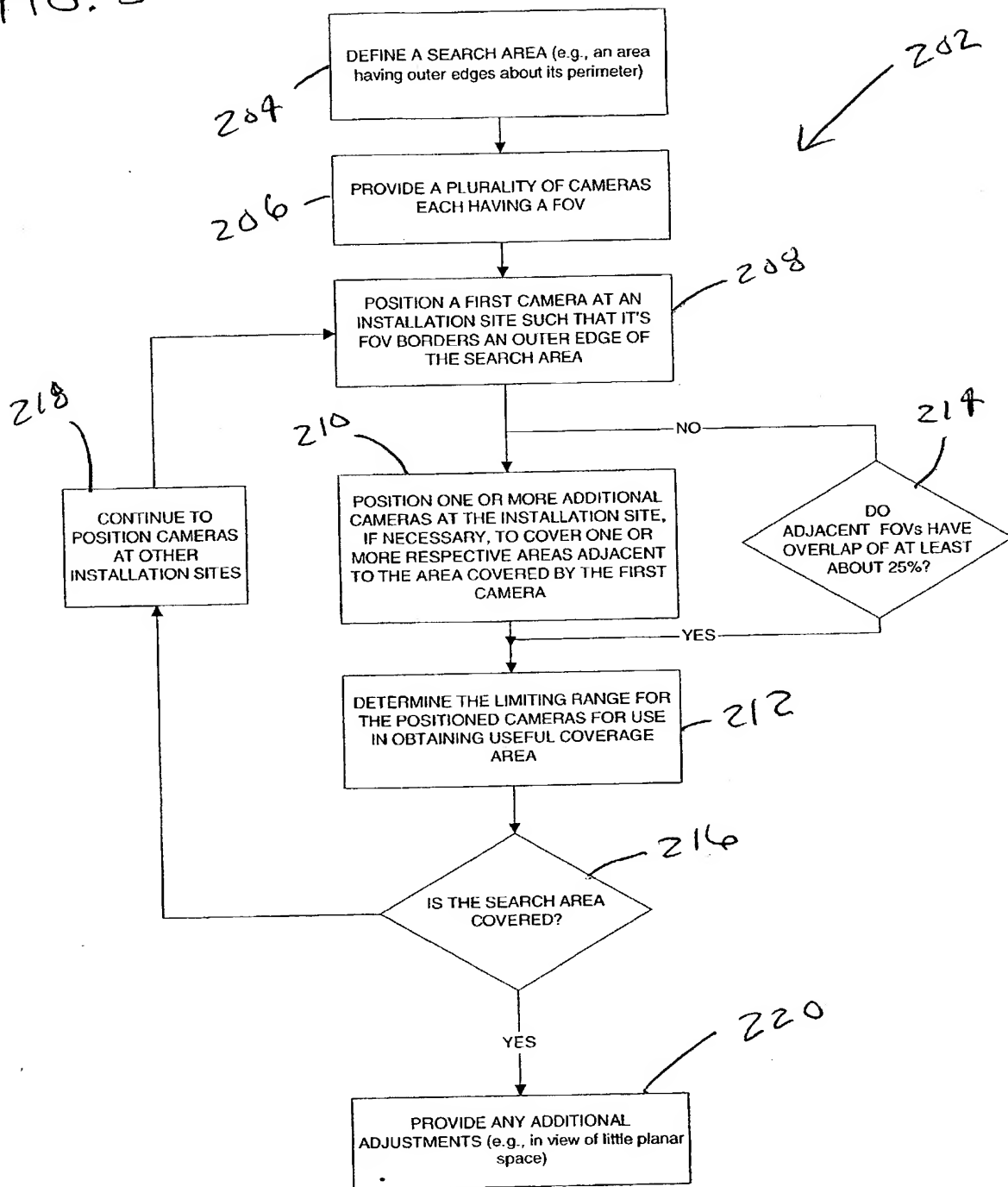
10034780-122704

FIG. 4



40034780-12201

FIG. 5



40034750.122704

FIG. 6

1042021 08/45004

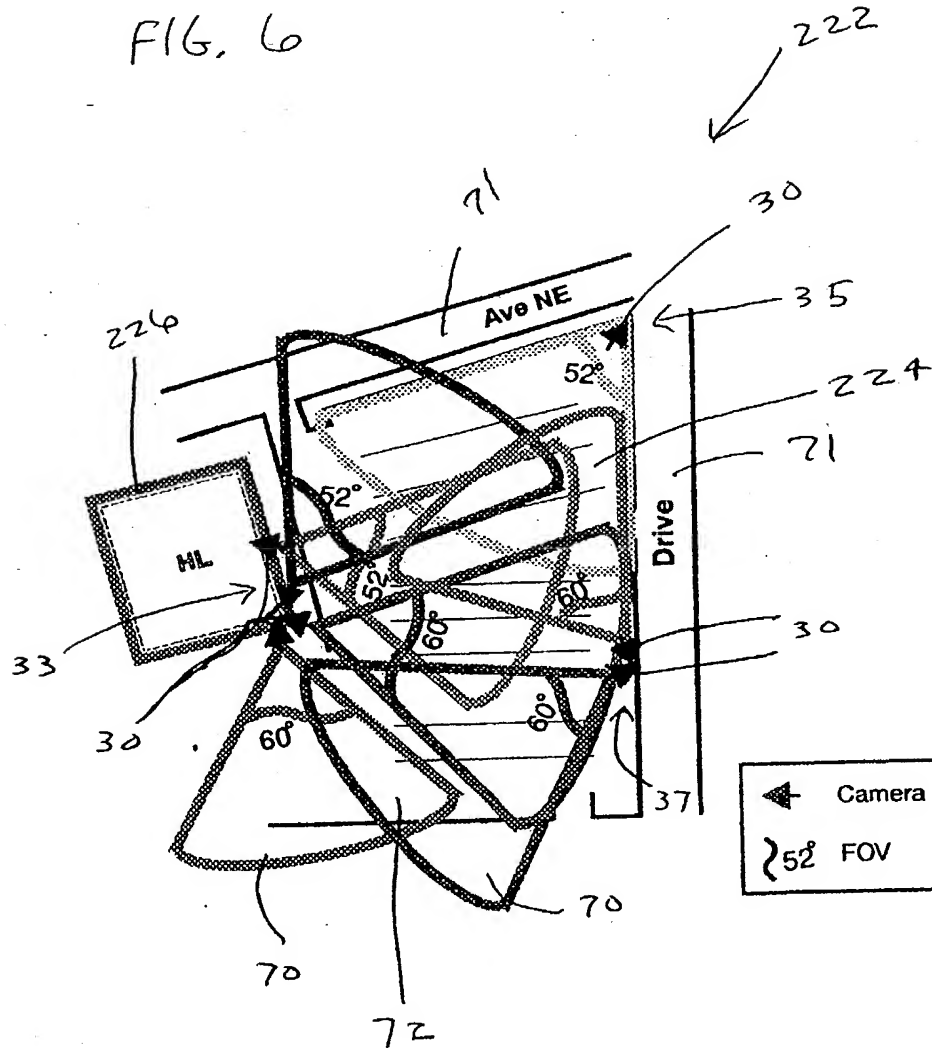
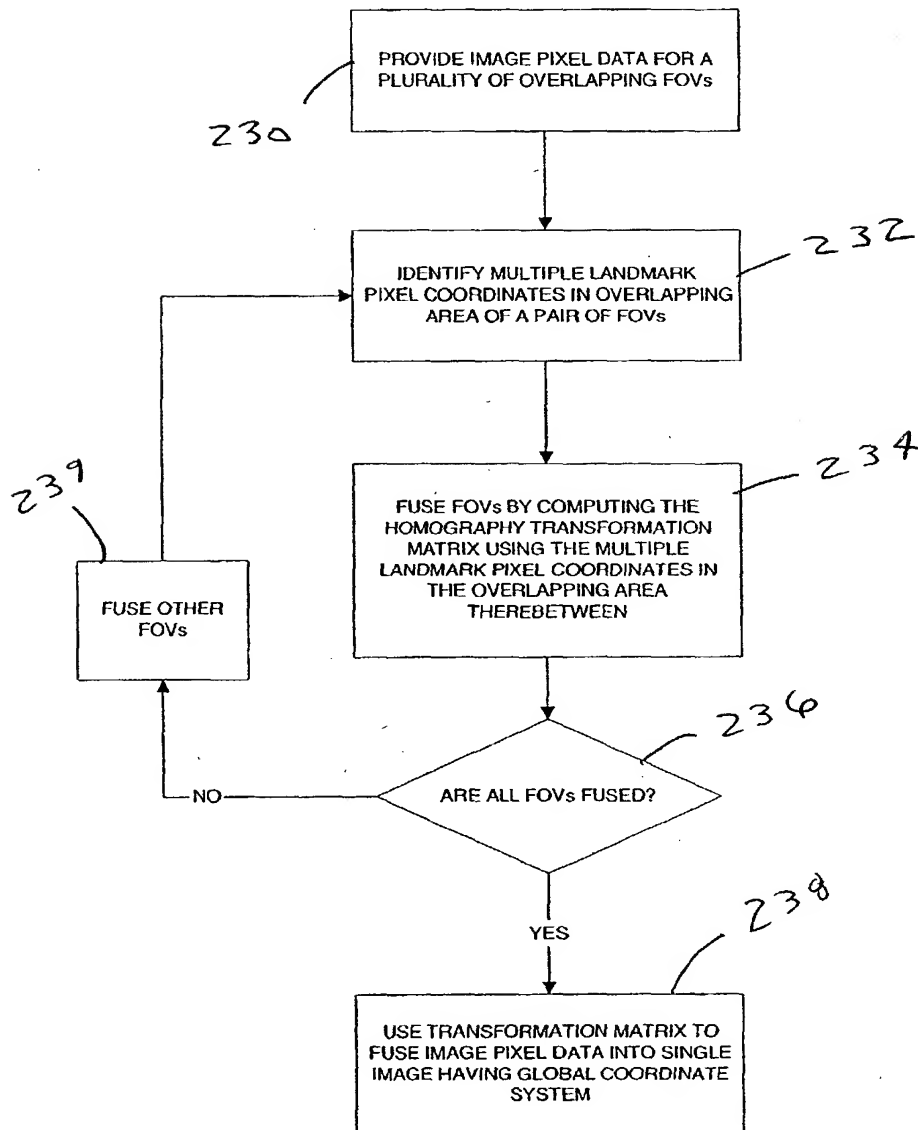


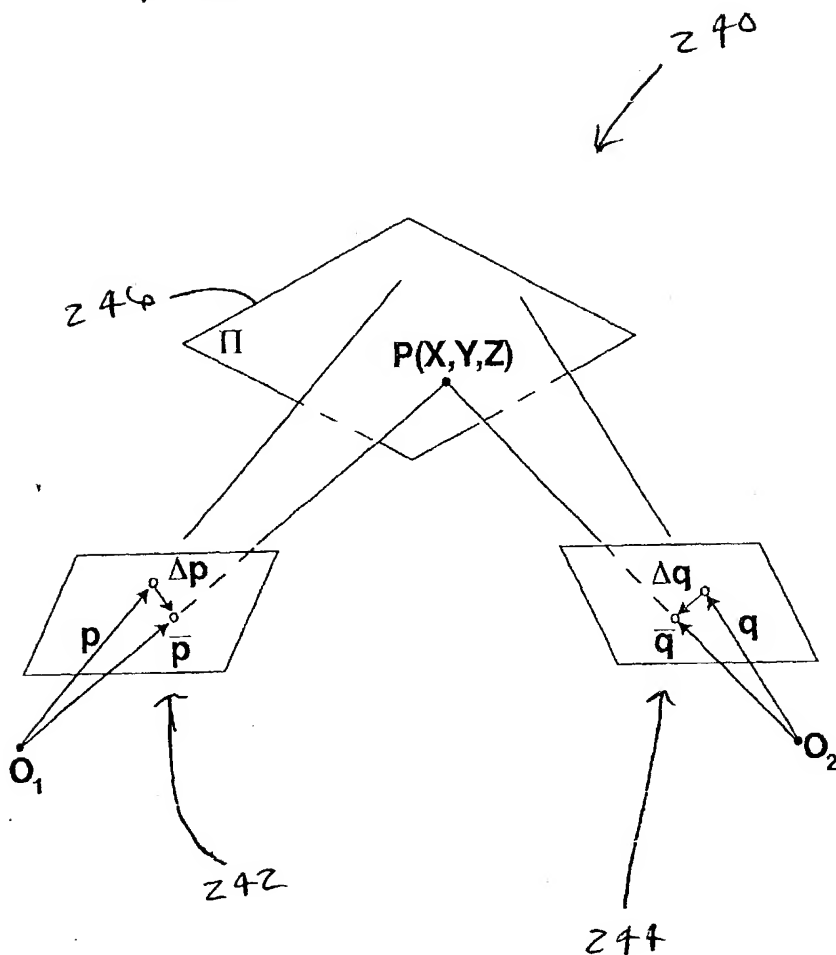
FIG. 7

104



10034780-13301

FIG. 8



10034780 122701

FIG. 9

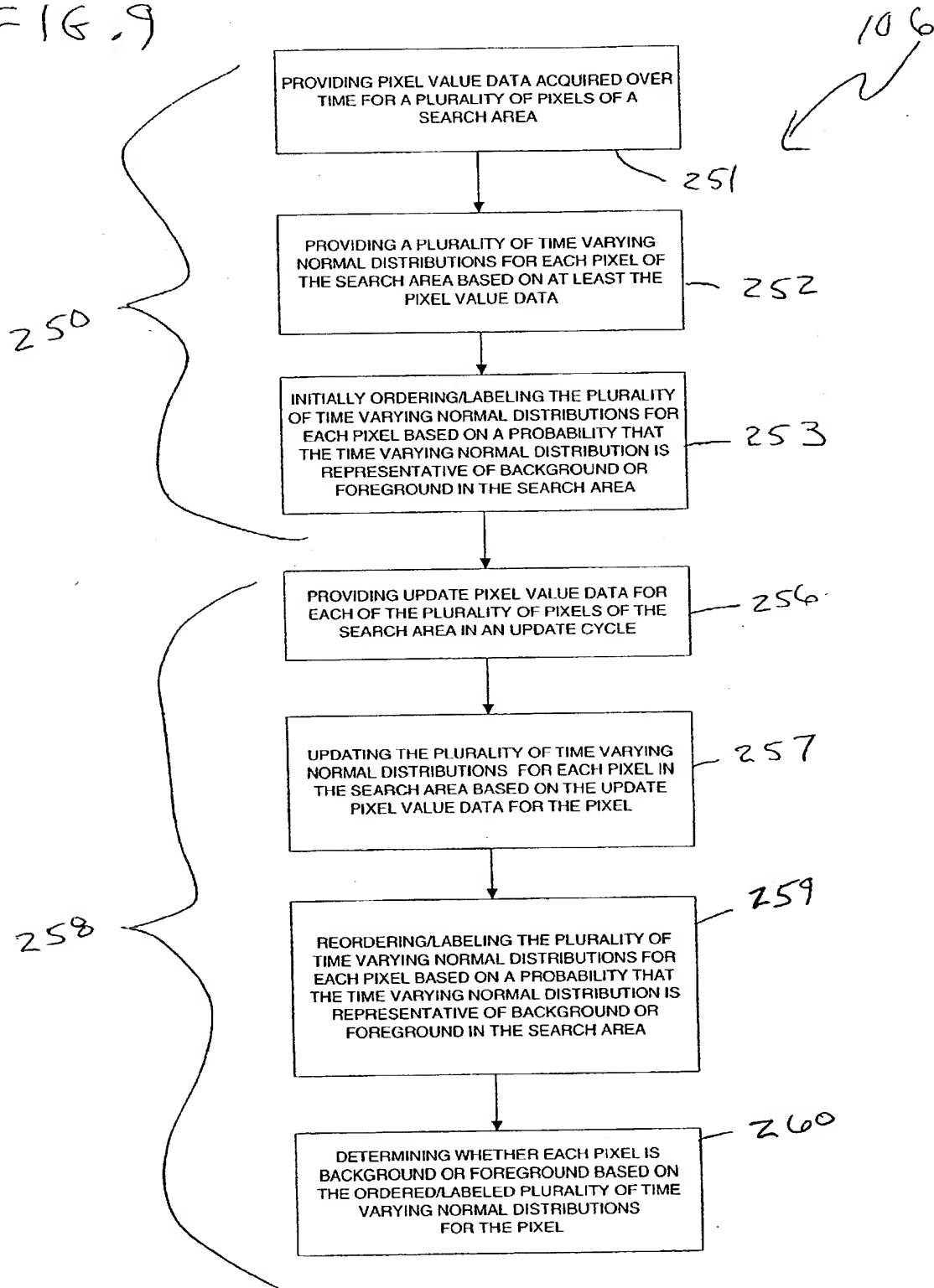
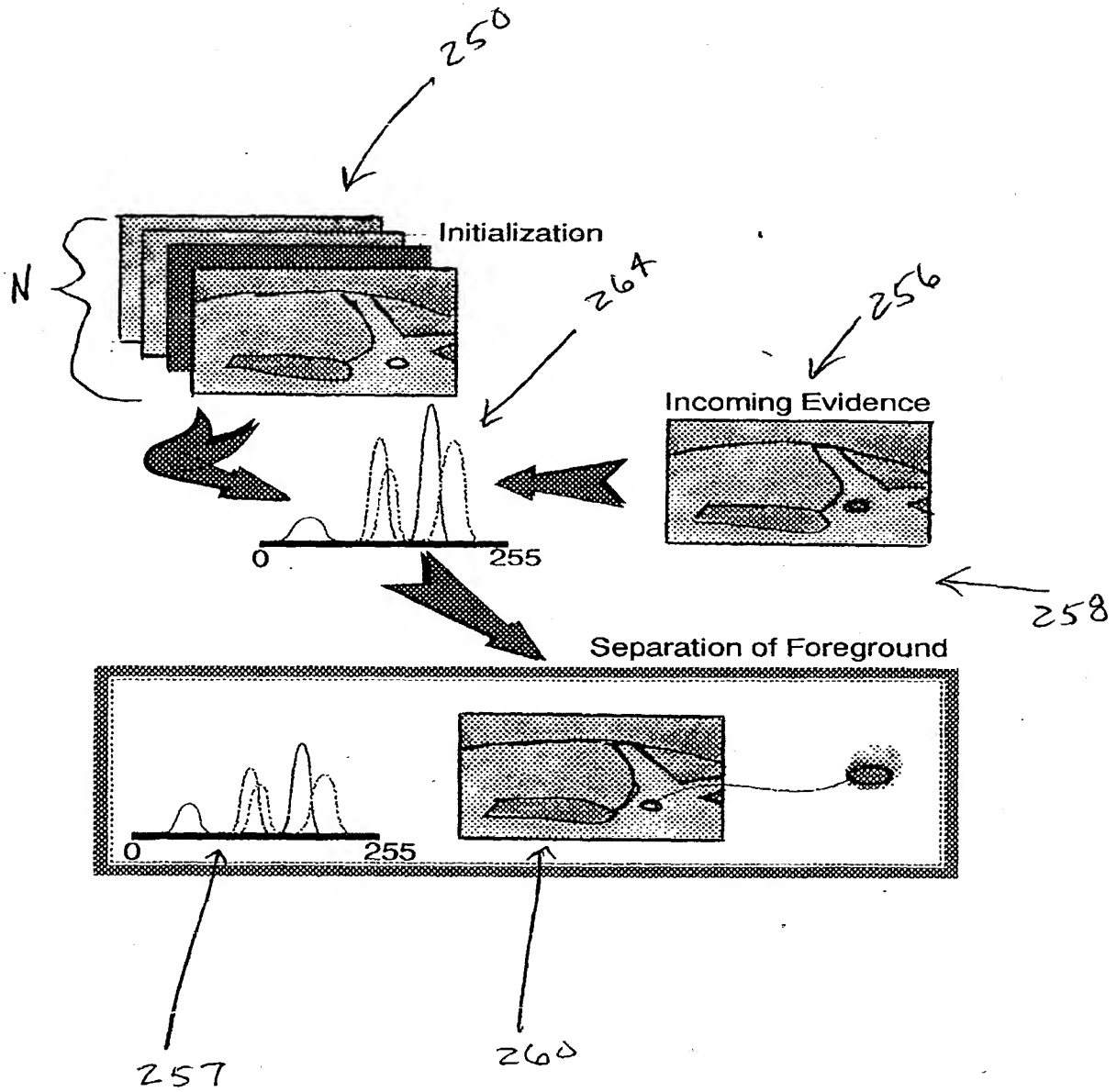
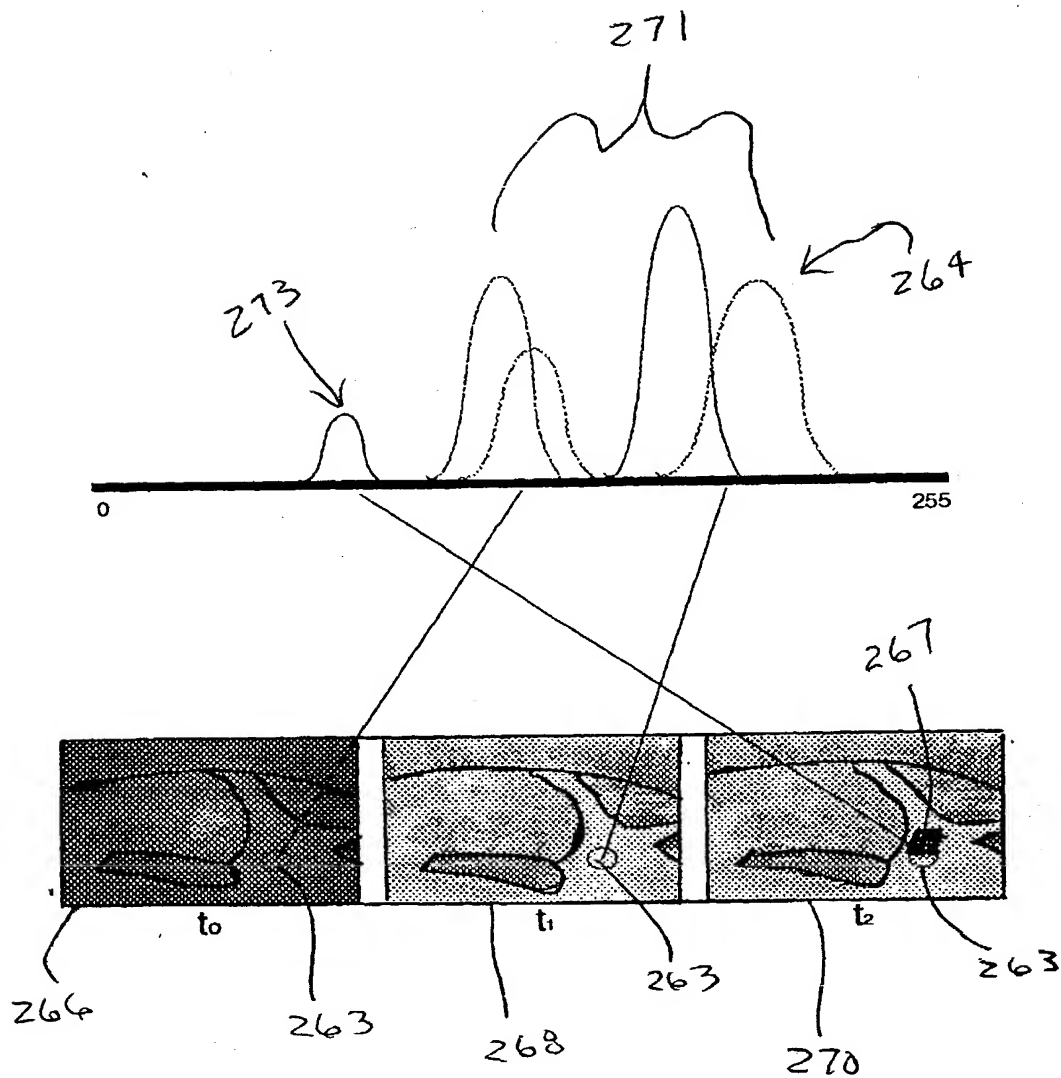


FIG. 10



10034730-122701

FIG. 11



10034780-122701

FIG. 12A

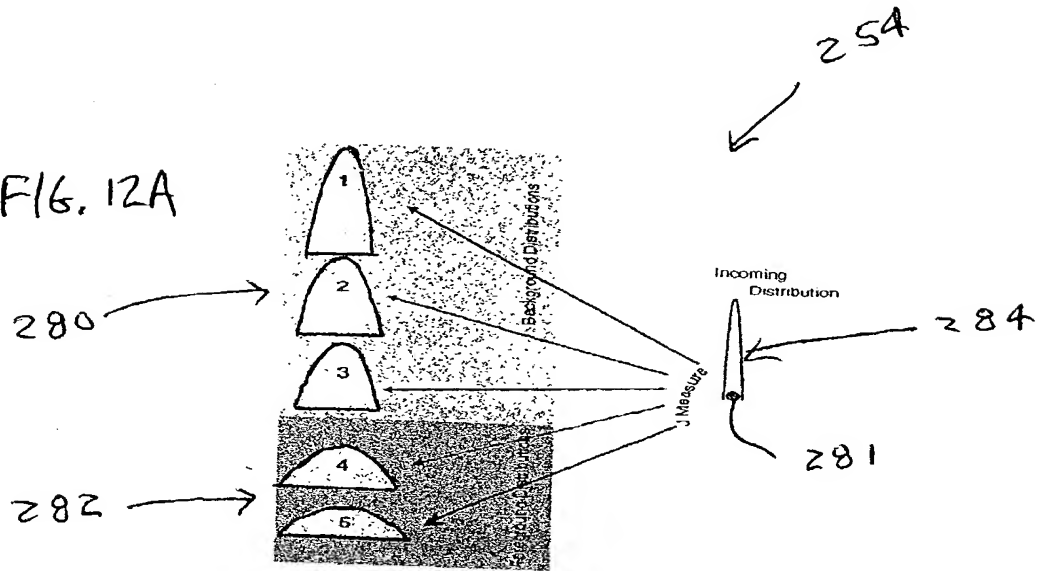
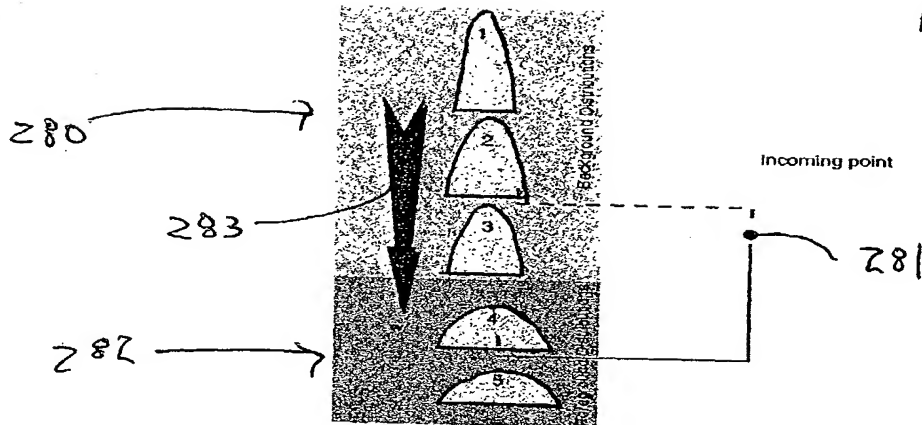
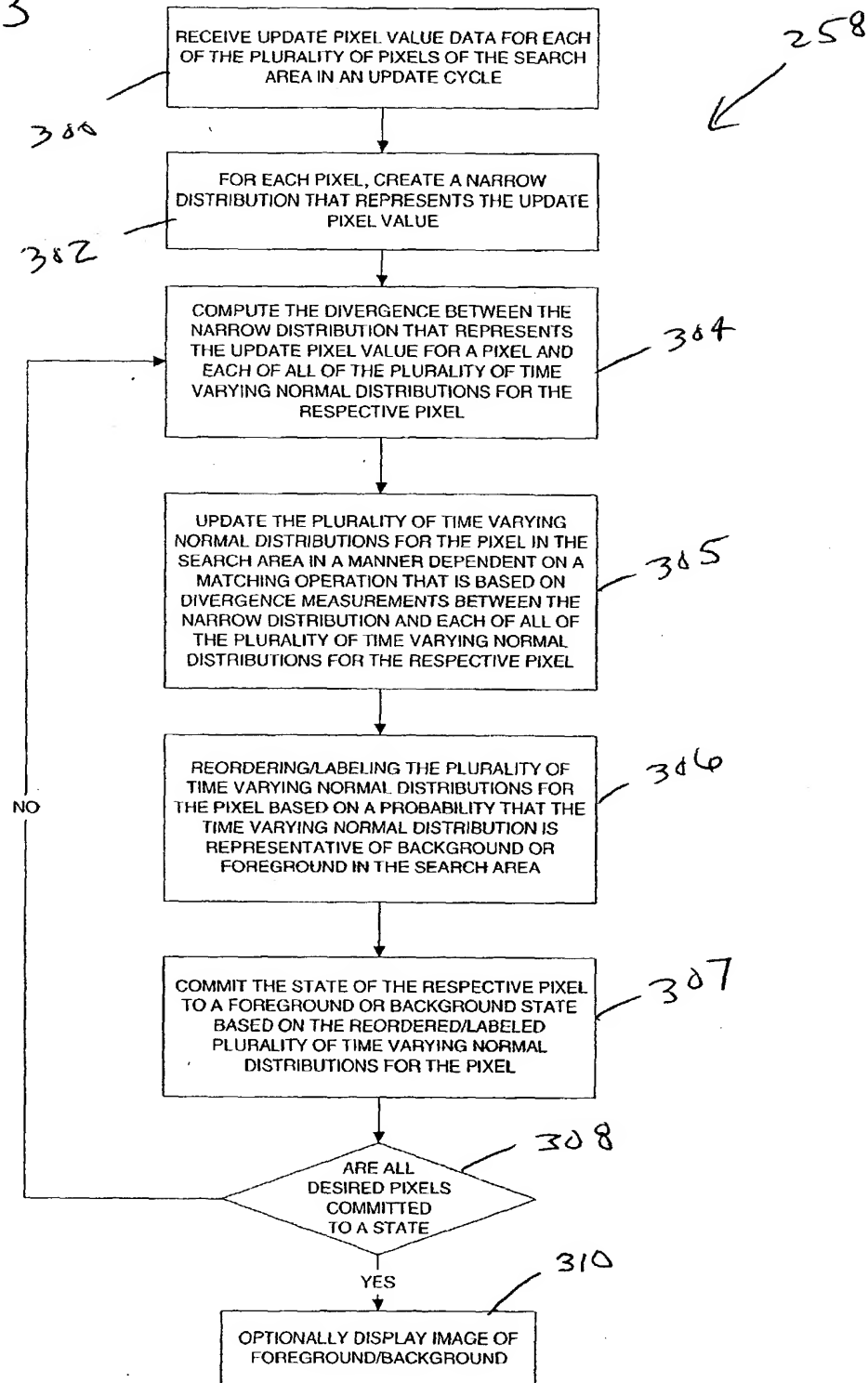


FIG. 12B



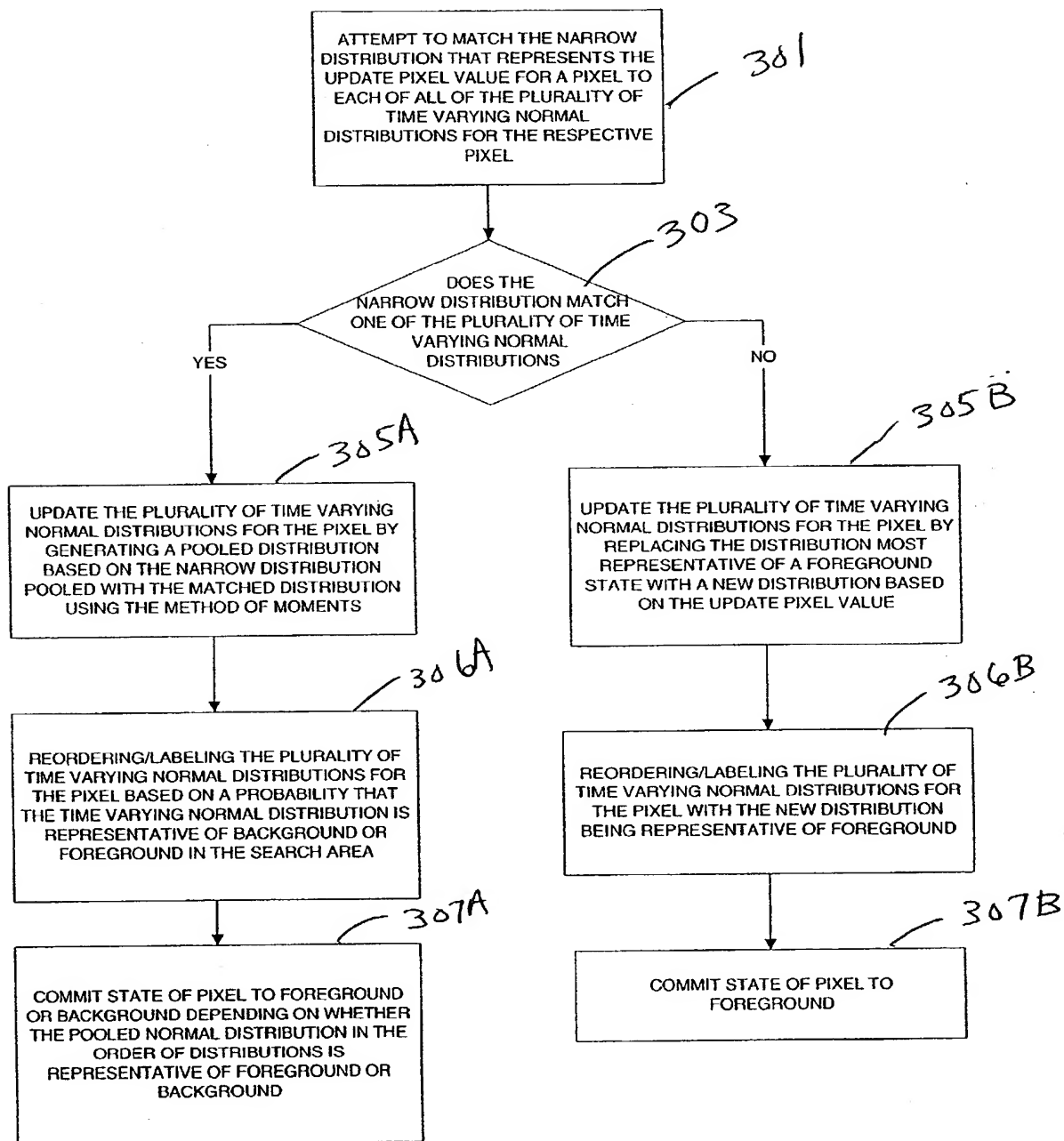
10034780.12201

FIG. 13

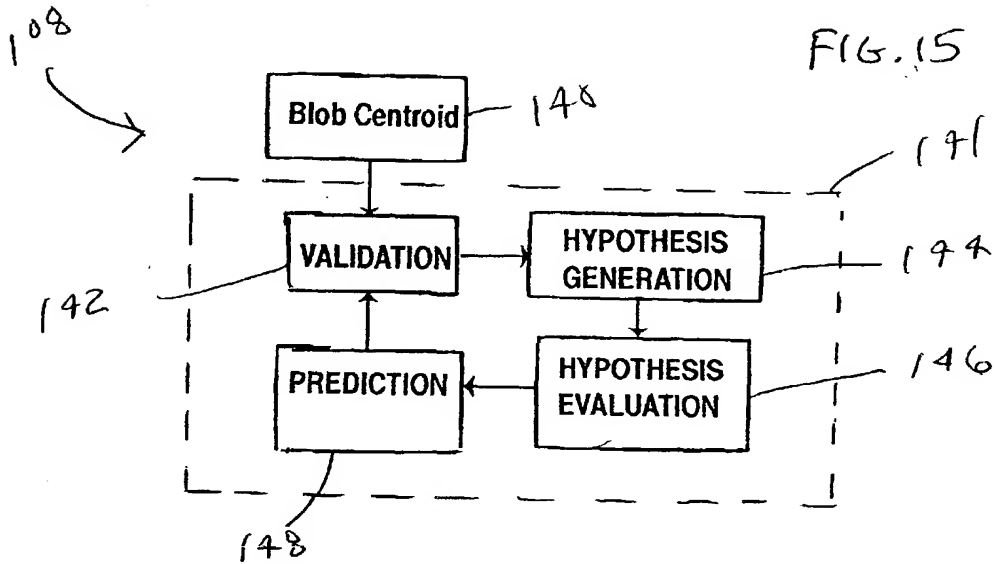


10034750 422704

FIG. 14



10034780 122704



Hypothesis	$z_1(1)$	$z_2(1)$	$z_1(2)$	Track No.
H_1	0	0	-	0
H_2	1	0	-	1
H_3	0	2	-	2
H_4	1	2	-	1,2
H_5	1	0	3(1)	3
H_6	1	2	3(1)	2,3
H_7	0	2	4(2)	4
H_8	1	2	4(2)	1,4
H_9	0	0	5	5
H_{10}	1	0	5	1,5
H_{11}	0	2	5	2,5
H_{12}	1	2	5	1,2,5

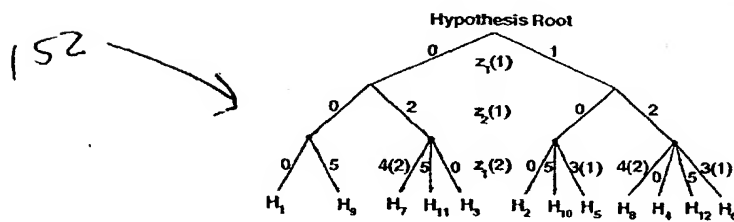
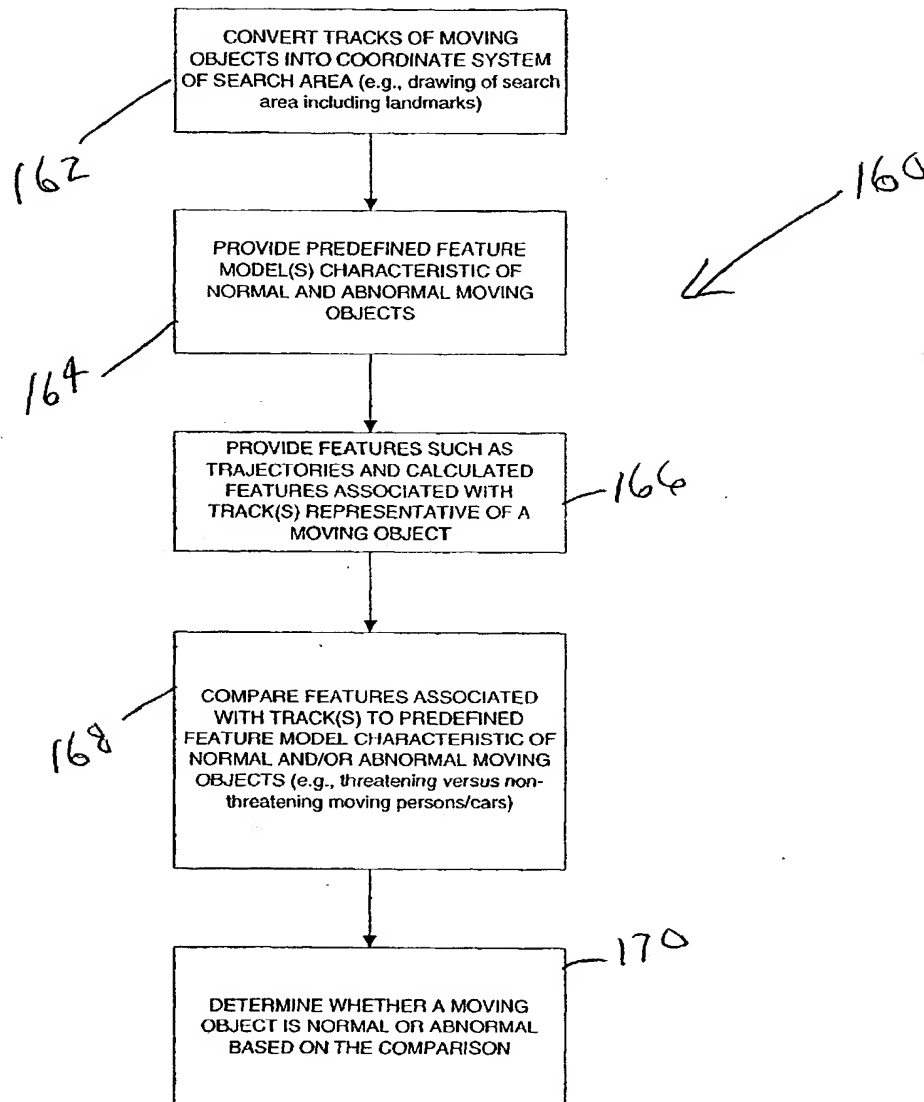


FIG. 18



10034780 1.2.201

FIG. 19

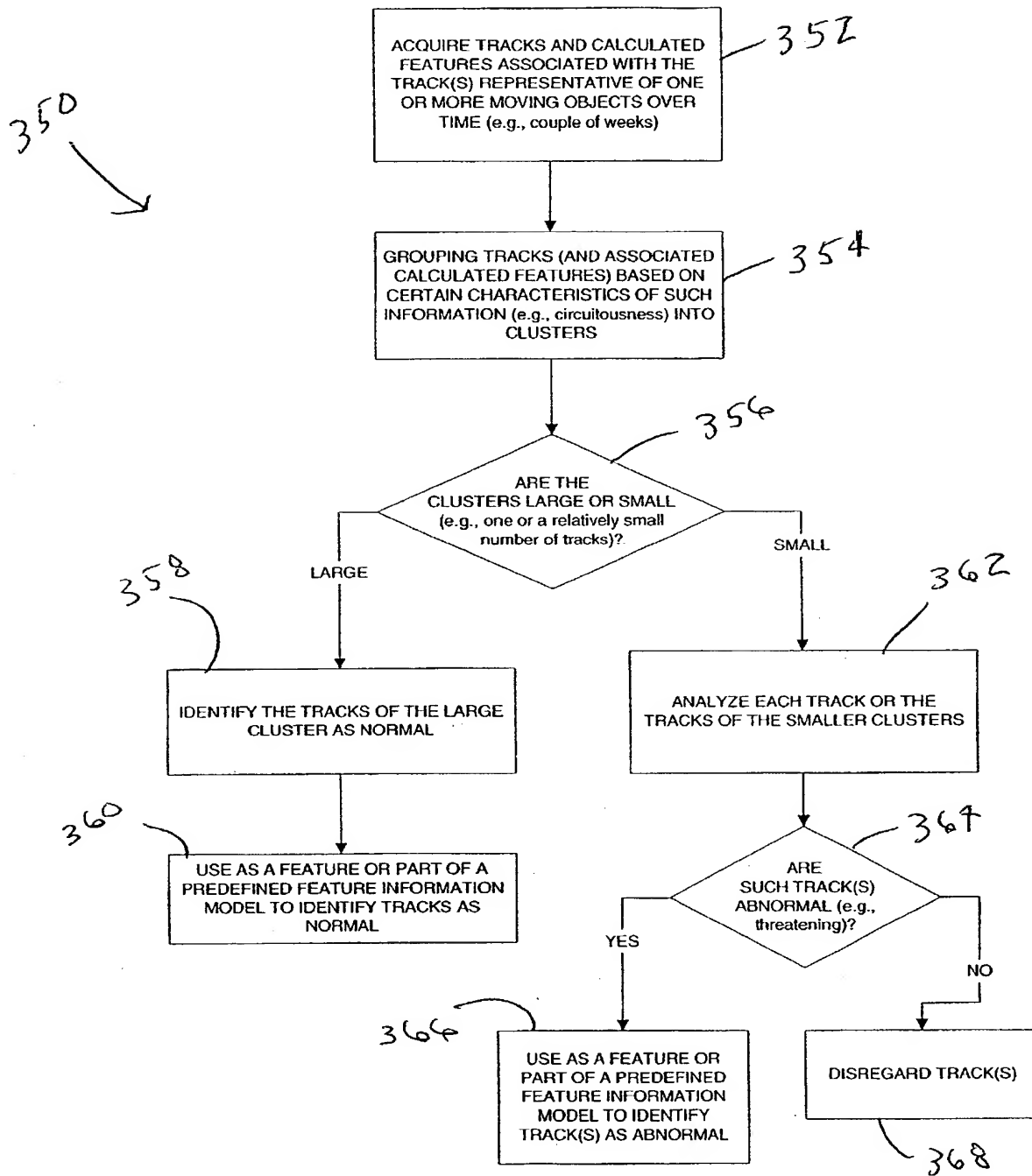


FIG. 20A

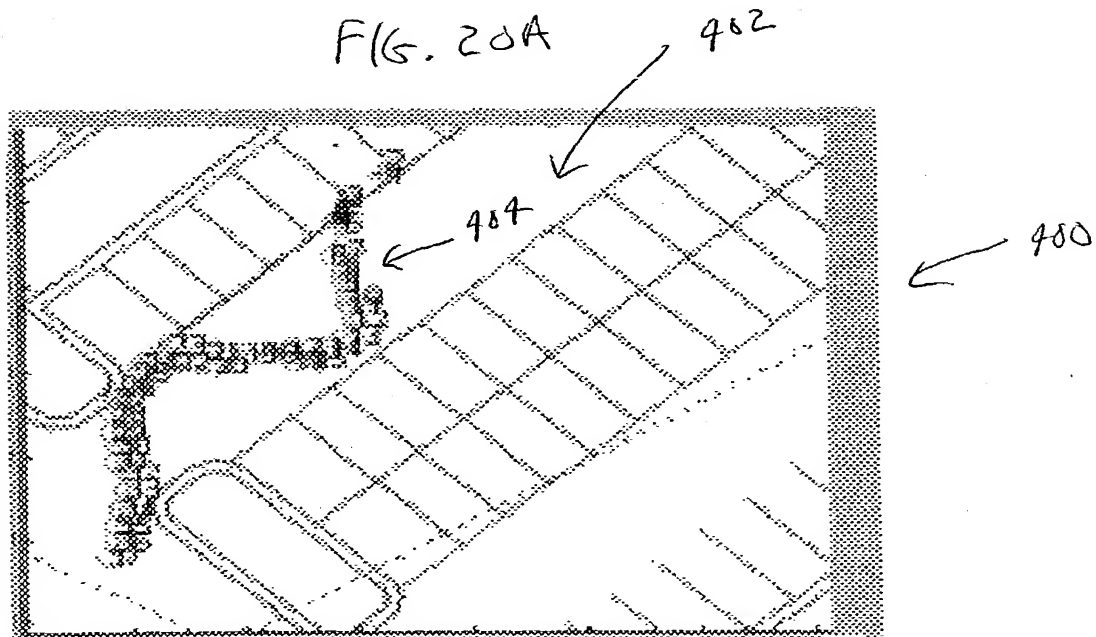
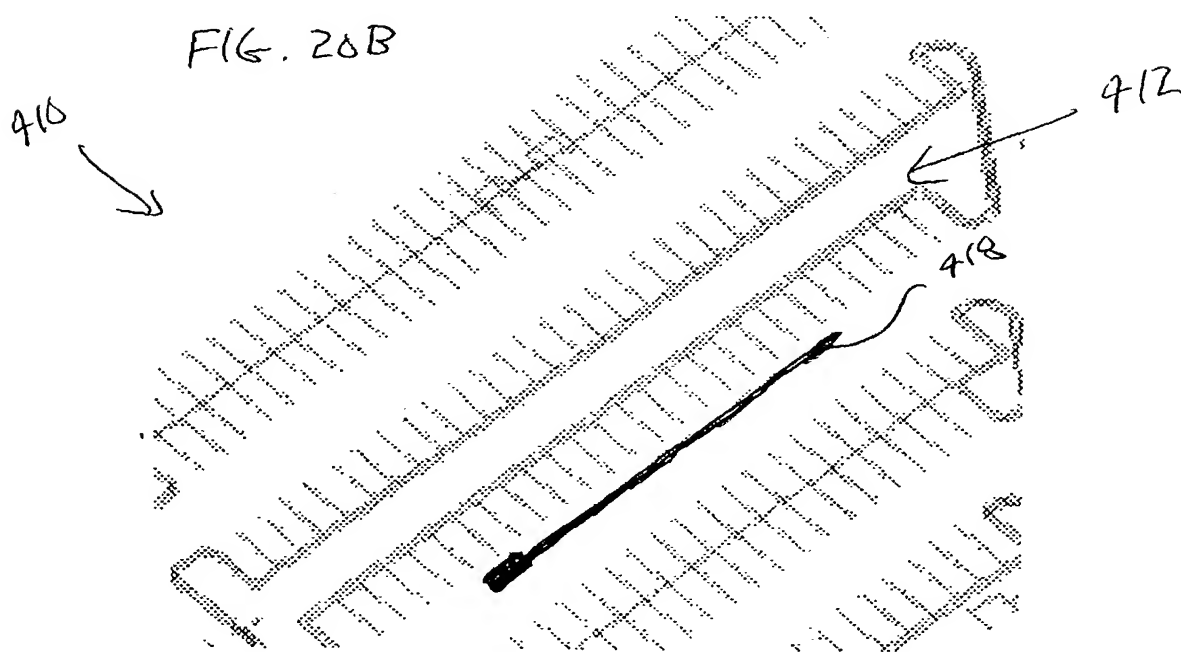


FIG. 20B



10034780 132701